



第二章 控制系统的数学模型

2.1 建立数学模型的一般方法

2.2 非线性及线性化

2.3 传递函数

2.4 典型环节

2.5 动态结构图及等效变换

2.6 信号流图及梅森公式

2.7 控制系统的传递函数



2.4 典型环节

2.4 典型环节

1) 比例环节 (放大环节、无惯性环节) :

$$y(t) = Kr(t)$$

式中 K ——环节的放大系数，为一常量。

传递函数为：

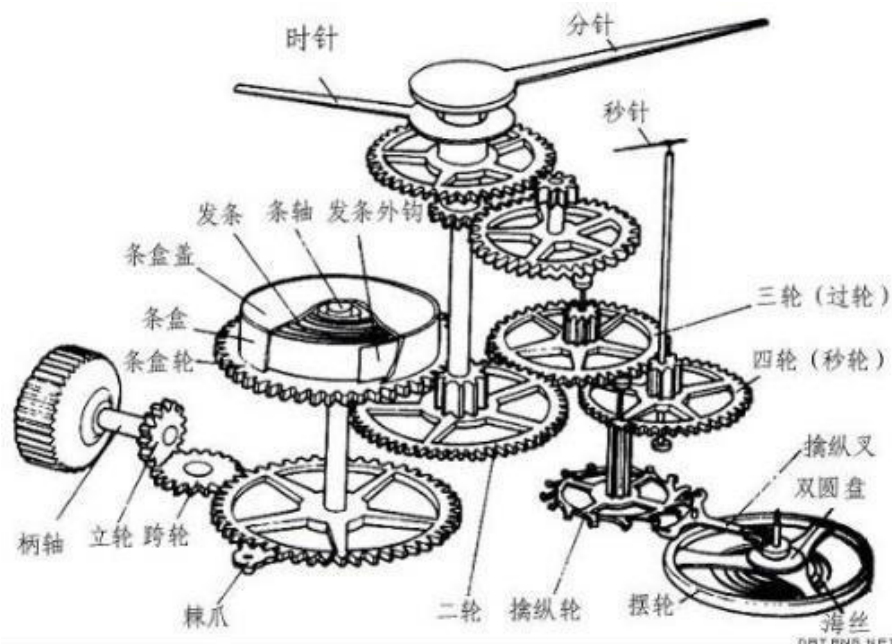
$$G(s) = \frac{Y(s)}{R(s)} = K$$

特点：输入输出量成比例，无失真和时间延迟。



2.4 典型环节

实例：电位器，电阻分压器，无变形无间隙的齿轮传动比，测速发电机电压和转速之间的关系，无惯性运算放大器等。





2.4 典型环节

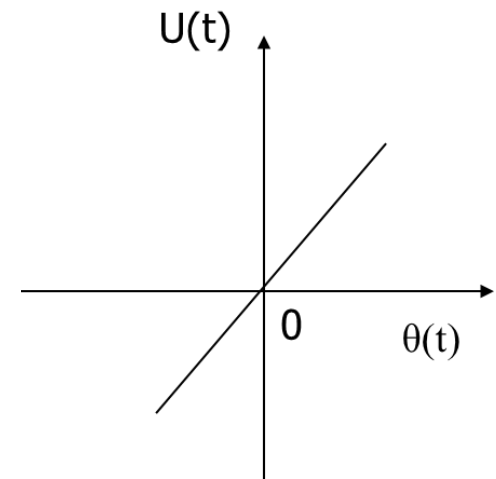
电位器： 电位器是一种把线位移（直线型电位器）或角位移（旋转型电位器）变换为电压量的装置。

忽略非线性因素，空载时，电位器的电刷位移 $\theta(t)$ 与输出电压 $u(t)$ 的关系：

$$u(t) = k_1 \theta(t) \quad k_1 = \frac{E}{\theta_{\max}}$$

式中：**E**： 电源电压；
k₁： 传递系数；
θ_{max}： 电位器最大角位移

$$G(s) = \frac{U(s)}{\theta(s)} = k_1$$





2.4 典型环节

测速发电机：用来测量角速度，并将角速度转换成电压量。

$$u(t) = k_t \omega(t)$$

对上式取拉氏变换：

$$G(s) = \frac{U(s)}{\omega(s)} = k_t$$

式中： k_t :比例系数

以角速度为输入量

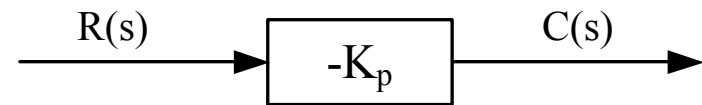
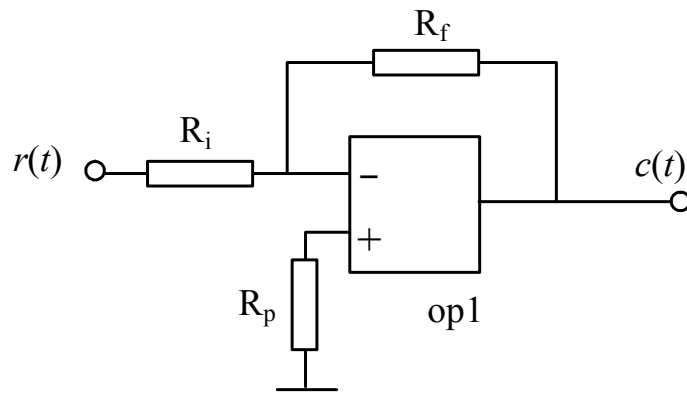
以 $\omega(t)$ 为输入量



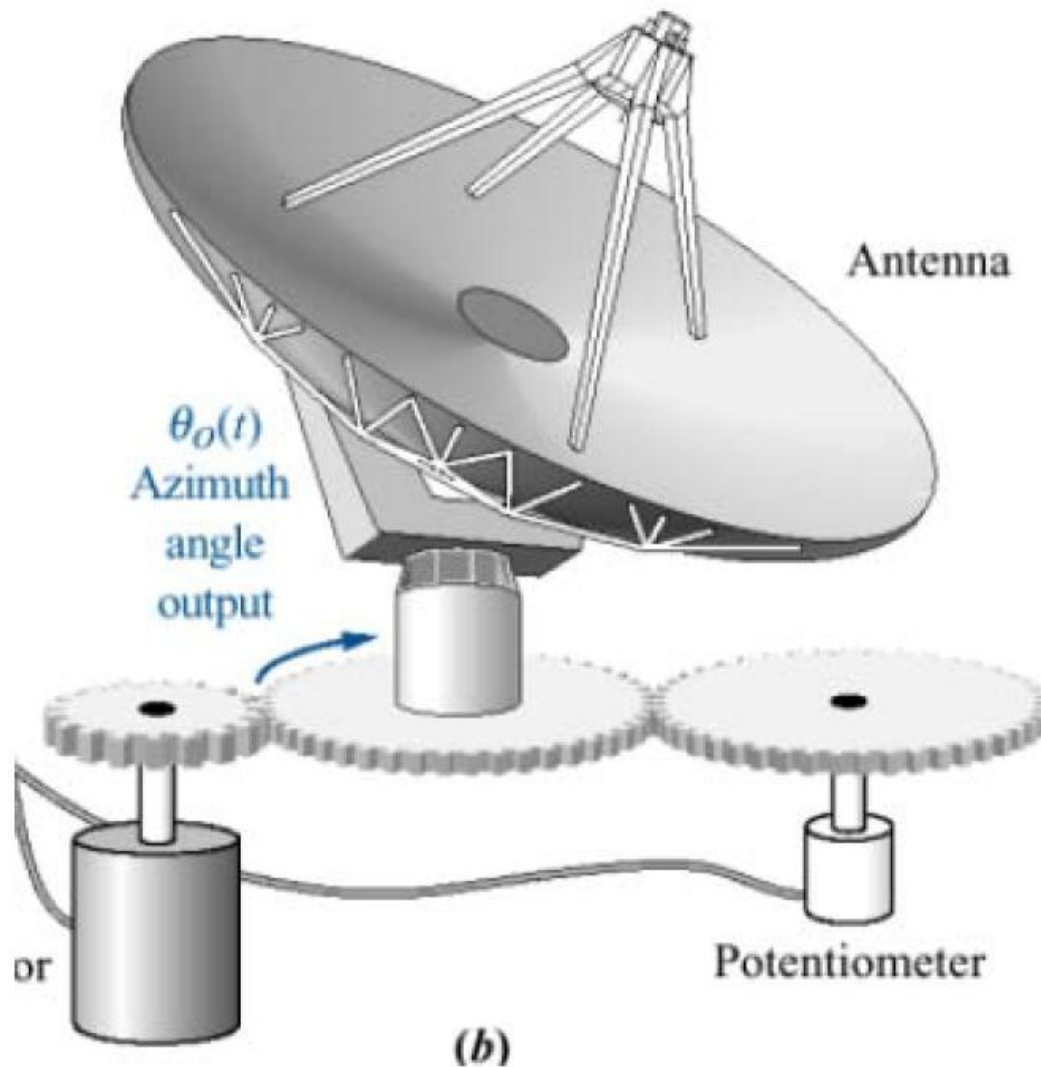


2.4 典型环节

比例环节:



齿轮:





2.4 典型环节

2) 惯 (惰) 性环节:

$$T \frac{dy(t)}{dt} + y(t) = r(t)$$

传递函数为: $G(s) = \frac{Y(s)}{R(s)} = \frac{1}{Ts + 1}$

式中 T ——环节的时间常数。

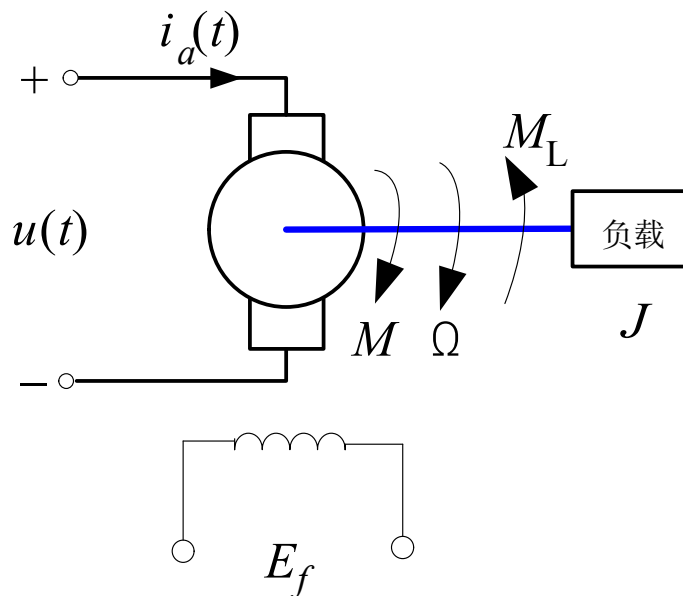
特点: 含一个储能元件, 对突变的输入, 其输出不能立即复现, 输出无振荡。

实例: RC网络, 直流伺服电动机, 液位。



2.4 典型环节

伺服电动机



$$T_e T_m \frac{d^2 \Omega}{dt^2} + T_m \frac{d\Omega}{dt} + \Omega = \frac{1}{C_e} u_a - \frac{T_m}{J} M_L - \frac{T_e T_m}{J} \frac{dM_L}{dt}$$

通常，电动机的电枢电路电感 L_a 较小和粘性摩擦系数 f 较小时，二者对系统的动态影响可以忽略不计，可以简化为

$$T_m \frac{d\Omega}{dt} + \Omega = \frac{1}{C_e} u_a$$

$$G(s) = \frac{\Omega(s)}{U_a(s)} = \frac{K_e}{T_m s + 1}$$



2.4 典型环节

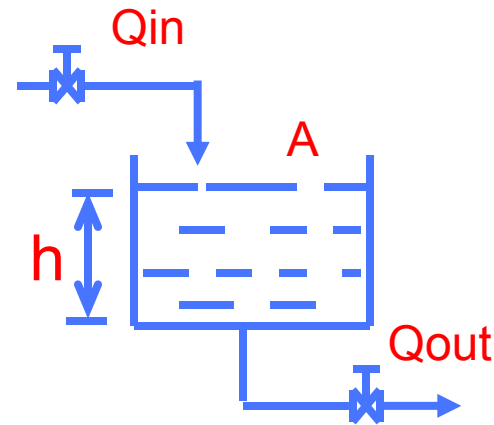
液位控制槽

$$A \frac{dh}{dt} + \beta \sqrt{h} = Q_{in}$$

线性化:

$$AR \frac{dh}{dt} + h = RQ_{in}$$

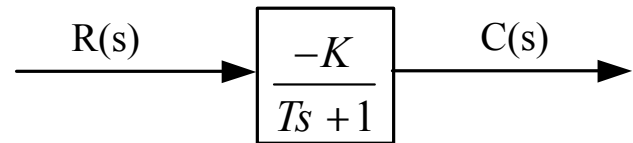
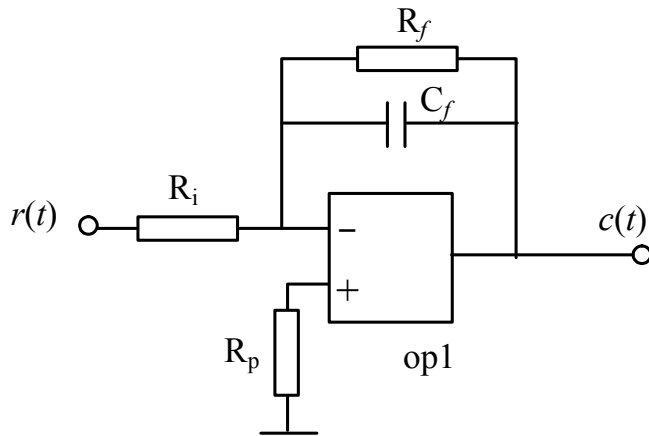
$$G(s) = \frac{H(s)}{Q_{in}(s)} = \frac{R}{Ts + 1}$$





2.4 典型环节

例5: 一阶惯性环节。





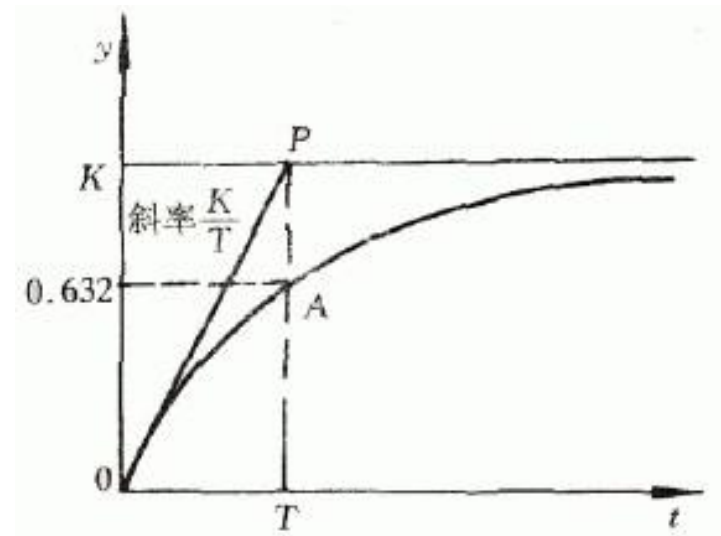
2.4 典型环节

一阶惯性环节单位阶跃响应曲线:

$$G(s) = \frac{K}{Ts + 1}$$

$$Y(s) = G(s)R(s) = \frac{K}{Ts + 1} \frac{1}{s}$$

$$y(t) = K(1 - e^{-\frac{1}{T}t})$$





2.4 典型环节

3) 积分环节:

$$y(t) = \int r(t) dt$$

传递函数为: $G(s) = \frac{Y(s)}{R(s)} = \frac{1}{s}$

特点: 输出量与输入量的积分成正比例, 当输入消失, 输出具有记忆功能。

实例: 电动机角速度与角度间的关系, 积分器等。

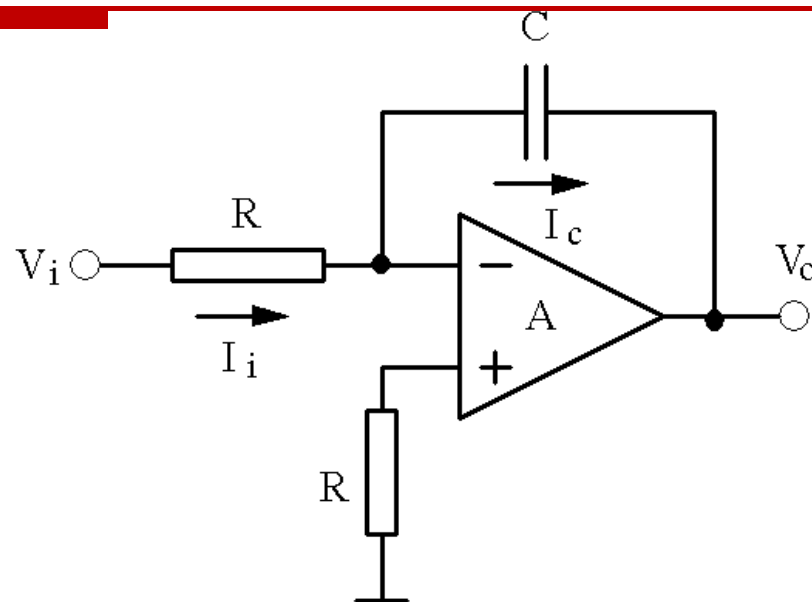


2.4 典型环节

积分器

$$\frac{dV_o}{dt} = -\frac{1}{RC}V_i$$

$$G(s) = \frac{V_o(s)}{V_i(s)} = -\frac{1}{Ts}$$





2.4 典型环节

4) 理想微分环节:

$$y(t) = \frac{dr(t)}{dt}$$

传递函数为: $G(s) = \frac{Y(s)}{R(s)} = s$

特点: 输出量正比输入量变化的速度, 能预示输入信号的变化趋势。

实例: 测速发电机。



2.4 典型环节

测速发电机:

$$u(t) = k_t \omega(t)$$

以角速度为输入量

$$\because \omega(t) = \frac{d\theta(t)}{dt}$$

$$\text{则: } u(t) = k_t \frac{d\theta(t)}{dt}$$

以角位移为输入量

$$G(s) = \frac{U(s)}{\theta(s)} = k_t s \quad \text{以 } \theta(t) \text{ 为输入量}$$





2.4 典型环节

5) (一阶) 微分环节:

$$y(t) = \frac{dr(t)}{dt} + r(t)$$

传递函数为: $G(s) = \frac{Y(s)}{R(s)} = s + 1$

特点: 理想微分环节在实际系统的体现。

实例: RL 电路。



2.4 典型环节

6) 二阶微分环节:

$$y(t) = \tau^2 \frac{d^2 r(t)}{dt^2} + 2\zeta\tau \frac{dr(t)}{dt} + r(t), 0 < \zeta < 1$$

$$\text{传递函数为: } G(s) = \frac{Y(s)}{R(s)} = \tau^2 s^2 + 2\zeta\tau s + 1$$

式中 τ ——环节的时间常数。

特点: 输出量与输入量成二阶微分关系。

实例: RLC电路。



2.4 典型环节

7) 振荡环节:

$$T^2 \frac{d^2 y(t)}{dt^2} + 2\zeta T \frac{dy(t)}{dt} + y(t) = r(t)$$

传递函数为:

$$G(s) = \frac{Y(s)}{R(s)} = \frac{1}{T^2 s^2 + 2\zeta Ts + 1} = \frac{\omega_n^2}{s^2 + 2\zeta\omega_n s + \omega_n^2} (0 < \zeta < 1)$$

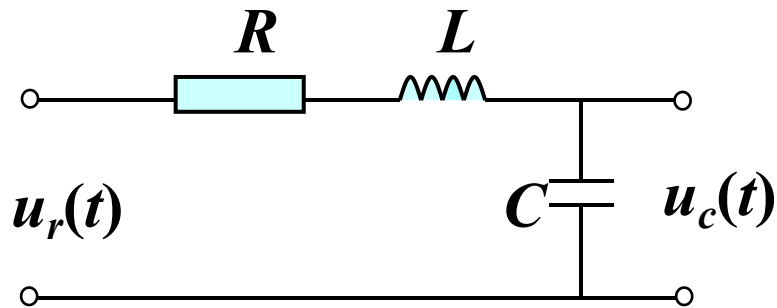
特点: 环节中有两个独立的储能元件，并可进行能量交换，其输出出现振荡。

实例: RLC电路，弹簧质量阻尼器系统。



2.4 典型环节

RLC电路:



$$G(s) = \frac{U_c(s)}{U_r(s)} = \frac{1}{LCs^2 + RCs + 1}$$

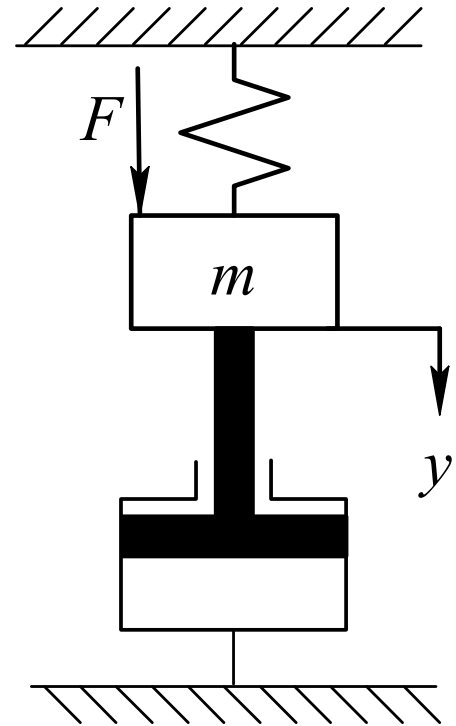


2.4 典型环节

弹簧阻尼机械减震系统:

$$m \frac{d^2 y(t)}{dt^2} + f \frac{dy(t)}{dt} + ky(t) = F(t)$$

$$G(s) = \frac{Y(s)}{F(s)} = \frac{1}{ms^2 + fs + k}$$





2.4 典型环节

不同 ξ 值时二阶系统单位阶跃响应:

$$G(s) = \frac{Y(s)}{R(s)} = \frac{1}{T^2 s^2 + 2\zeta Ts + 1} = \frac{\omega_n^2}{s^2 + 2\zeta\omega_n s + \omega_n^2} (0 < \zeta < 1)$$

$$Y(s) = R(s)G(s)$$

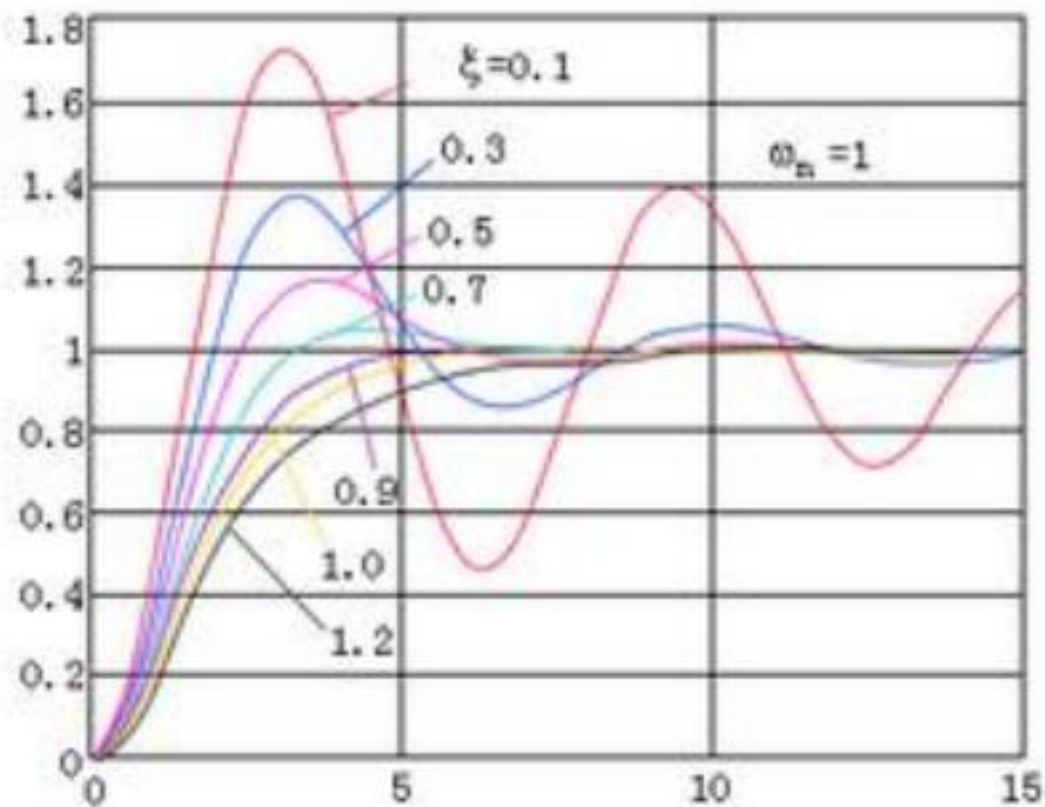
$$\begin{aligned} &= \frac{1}{s} \cdot \frac{\omega_n^2}{(s + \zeta\omega_n + j\omega_d)(s + \zeta\omega_n - j\omega_d)} \\ &= \frac{1}{s} - \frac{s + \zeta\omega_n}{(s + \zeta\omega_n)^2 + \omega_d^2} - \frac{\zeta\omega_n}{(s + \zeta\omega_n)^2 + \omega_d^2} \end{aligned}$$



2.4 典型环节

不同 ξ 值时二阶系统单位阶跃响应:

$$y(t) = L^{-1}[Y(s)] = 1 - \frac{e^{-\zeta\omega_n t}}{\sqrt{1-\zeta^2}} \sin\left(\omega_d t + \arctan \frac{\sqrt{1-\zeta^2}}{\zeta}\right), t \geq 0$$





2.4 典型环节

8) 延迟环节:

$$y(t) = r(t - \tau)$$

传递函数为: $G(s) = \frac{Y(s)}{R(s)} = e^{-\tau s}$

式中 τ ——延迟时间

特点: 输出量能准确复现输入量, 但须延迟一固定的时间间隔。

实例: 管道压力、流量等物理量, 网络。



2.4 典型环节

按泰勒(Taylor)级数展开得

$$e^{\tau s} = 1 + \tau s + \frac{\tau^2 s^2}{2!} + \frac{\tau^3 s^3}{3!} + \dots$$

当延迟 τ 比较小时，忽略高次项

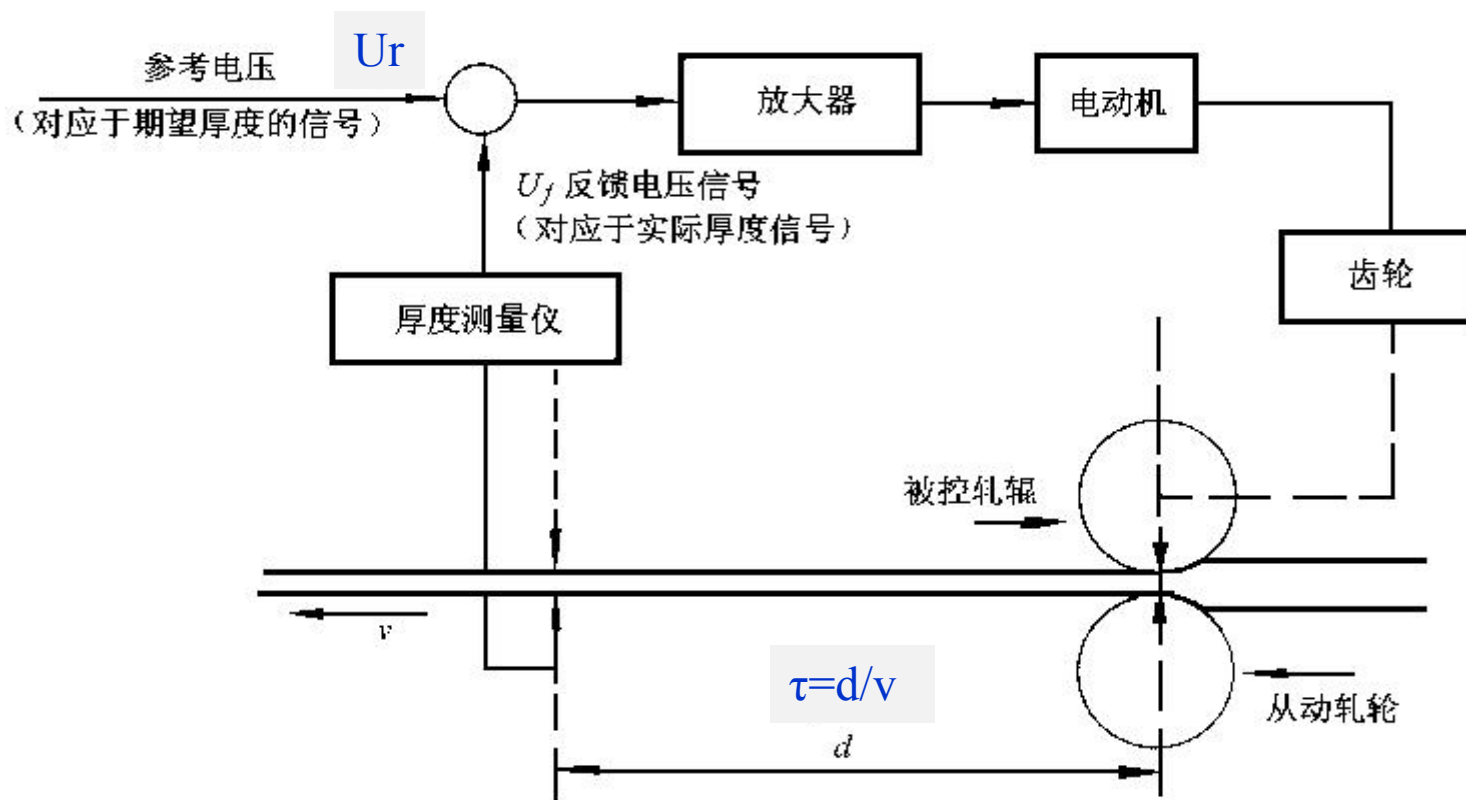
$$G(s) = e^{-\tau s} \approx \frac{1}{1 + \tau s}$$

上式表明，在延迟时间很小的情况下，延迟环节可用一个小惯性环节来代替。



2.4 典型环节

举例：一钢板轧机如图，若轧机轧辊中心线到厚度测量仪的距离为 d (这段距离无法避免)，设轧钢的线速度为 v ，则测得实际厚度的时刻要比轧制的时刻延迟 τ ($\tau=d/v$)。





2.4 典型环节

举例:

- ① 液压油从液压泵到阀控油缸间的管道传输产生的时间上的延迟。
- ② 热量通过传导因传输速率低而造成的时间上的延迟。
- ③ 晶闸管整流电路，当控制电压改变时，由于晶闸管导通后即失控，要等到下一个周期开始后才能响应，这意味着，在时间上也会造成延迟(对单相全波电路，平均延迟时间 $\tau=5\text{ms}$ ；对三相桥式， $\tau=1.7\text{ms}$)。
- ④ 各种传送带(或传送装置)因传送造成的时间上的延迟。
- ⑤ 从切削加工状况到测得结果之间的时间上的延迟。



2.4 典型环节

◆ 以下系统由什么典型环节组成？

$$G(s) = \frac{K(3s + 1)}{s(5s + 1)(s^2 + 2s + 8)}$$

比例	微分	积分	惯性	振荡
----	----	----	----	----



第二章 控制系统的数学模型

Thank You !